

# 4-1型示差精密热天平差热部分的改进

夏福兴 吴欣然

## 摘要

用平板式热电偶代替点状热电偶，在4.1型示差精密热天平上安装了一个微量差热装置，与原仪器的温控仪，差热放大器、记录器组成微量差热仪。灵敏度提高了八倍，分辨率也提高了，且可作定量差热分析。改革的工艺比较简单，效果比较满意。

## 一、前 言

热重分析和差热分析在自然科学研究中得到广泛应用，在化学、地质、矿物、冶金等研究方面是一有力的工具。近年来国内热分析技术得到迅速发展，国产的热分析仪器数量逐渐增多，其中以北京光学仪器厂生产的4.1型示差精密热天平最为普遍。实践证明该仪器性能良好，而且差热分析和热重分析可以同时进行，一次实验可以得到较多的数据。但该仪器差热部分使用的是点状差热热电偶，热电偶与试样容器的接触面小，传热效率低，需要的试样量比较大（数拾毫克）。由于试样量大，试样内部存在温度梯度，所以该仪器不能作定量差热分析。

据报道，差热分析微量化（试样重量数毫克，甚至更少）以后，可以作定量差热分析<sup>[1,2]</sup>。另外，灵敏度提高以后高分子材料的玻璃化温度也可以测定<sup>[2]</sup>。为此目的，我们在4.1型示差精密热天平上按装了一个微量差热装置。测试的结果说明，改进以后，灵敏度显著提高，所需试样量下降，只要几毫克。有些样品甚至在1毫克以下，差热峰仍然明显。

## 二、改进措施

1. 我们用亚铃状平板热电偶代替点状热电偶，试样容器也改为平底状。这样，点传热改成了面传热，传热面积增加，灵敏度大为提高。由于试样容器很小，例如铂坩埚重量仅100mg左右，铝坩埚只有10多mg，因而试样容器的热容小，热滞后也小，有利于提高仪器的分辨率。

亚铃状平板热电偶和试样容器见图1。

2. 热屏蔽罩代替加热块。在原仪器中试样容器装在加热块内，由于加热块热容量大，热滞后也大。当炉子升温以后一段时间内，样品温度并不上升。改用热屏蔽罩以后，这种滞后减少。屏蔽罩用Pt-Rh合金制成，也可以用其它金属材料。

热屏蔽罩的形状和安装位置如图2：

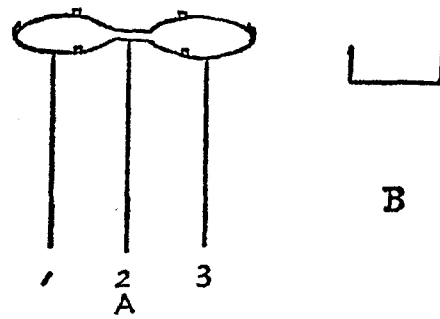


图1 平板热电偶和试样容器  
图中1和3组成差热热电偶。1和2或  
2和3组成测温热电偶

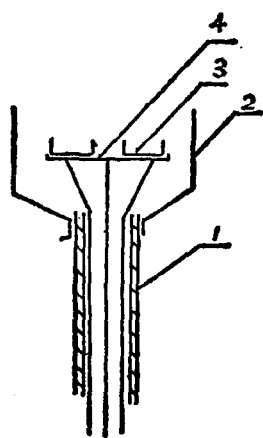


图2 热屏蔽罩的装配图

1.是带小孔的瓷管  
2.是热屏胶囊 3.是  
试样容器 4.亚铃状  
平板热电偶

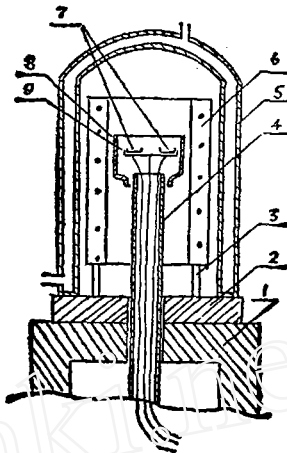


图3 为微量差热装置

1.底座 2.底盘 3.电炉支架  
4.带小孔的瓷管 5.玻璃冷却  
罩 6.电炉 7.试样容器 8.热  
屏蔽罩 9.平板式热电偶。

3. 利用原仪器的备用电炉装成一套加热装置,由电缆接到原仪器的温控仪、差热放大器、记录仪上,从而组成单独的微量差热仪。原仪器的一套常量差热仪和热天平继续可以使用,这样使原仪器由一机二用变成一机三用。微量差热仪和常量差热仪一个工作,一个冷却,轮流使用,互不影响。如图3。

### 三、改进后仪器的性能

#### 1. 灵敏度显著提高

试样均为  $KClO_4$ , 测试条件也相同, 差热量程  $100\mu V$ 。

走纸速度  $54cm/\text{小时}$ , 升温速度  $10^\circ C/\text{分}$ 。改革后和改革前仪器测试数据列于表 1

表1 改革后仪器与原仪器灵敏度比较

仪 器	试 样 量 (mg)	峰 面 积 ( $cm^2$ )	比 面 积 $cm^2/mg$
改 革 前	36.05	3.72	0.103
改 革 后	3.17	2.85	0.93

从表 1 数据可以看出, 改革以后的比面积约为改革前的 9 倍。即  $\frac{0.93}{0.103} \approx 9$ , 改革后仪器的灵敏度约为改革前仪器的 9 倍。

由于灵敏度提高, 原仪器很难测出的涤纶玻璃化温度, 改革以后的仪器可以测定, 见图 4

测试条件: 差热量程  $100\mu V$ , 走纸速度  $54cm/\text{小时}$ , 升温速度  $10^\circ C/\text{分}$

#### 2. 提高了分辨能力

由于提高了仪器的灵敏度, 试样量和试样容器的热容大为降低, 从而使热滞后减小, 仪器的分辨力随之提高。以水合氧化钛为试样,

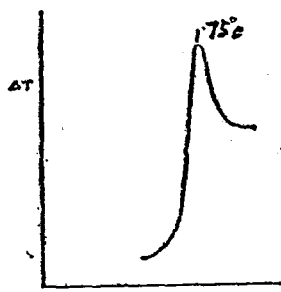


图4 涤纶的玻璃化转变

在加热速度、差热量程，走纸速度、样品粒度相同的情况下，原仪器测试时在80°C以前只出现一个峰，改革以后的仪器测试时出现三个峰，而且彼此不重叠。见图5。

以 $\text{CuSO}_4 \cdot 5\text{H}_2\text{O}$ 为例，也有类似现象。原仪器测试时第一个差热峰与第二个差热峰重叠，改革以后重叠现象消失。见图6图7。

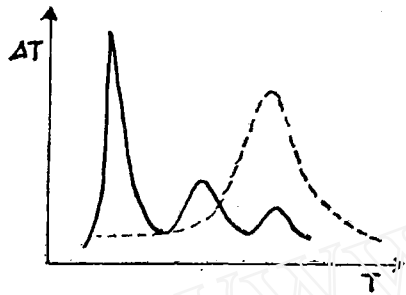


图5 水合氧化钛的差热谱  
——改革后 --- 改革前



图6 原仪器的 $\text{CuSO}_4 \cdot 5\text{H}_2\text{O}$   
差热谱



图7 改革以后仪器的  
 $\text{CuSO}_4 \cdot 5\text{H}_2\text{O}$  差热谱

### 3. 可以定量测定热效应

以 $\text{KClO}_4$ 为试样测试了试样重量与差热峰面积的关系。见表2和图5。

表2 试样量与峰面积的关系

试样量(mg)	2.33	4.19	5.20	7.23	9.21	10.72
峰面积( $\text{cm}^2$ )	2.04	3.63	4.55	6.3	7.8	8.92
比面积( $\text{cm}^2/\text{mg}$ )	0.87	0.86	0.87	0.87	0.85	0.83

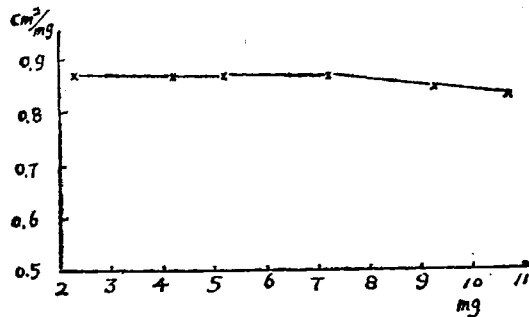


图8 试样量与峰面积的关系

由表2和图5可以看出，当 $\text{KClO}_4$ 的试样量在7.23mg以下时，比面积与试样量无关，这为定量差热分析奠定了实验基础。

据文献<sup>[8]</sup>报道，试样的峰面积与热效应之间存在下述关系：

$$B = \Delta Q \cdot \frac{1}{A} \quad (1)$$

式中B为试样峰面积， $\Delta Q$ 为试样的热效应。 $A$ 是与温度、仪器、试样性质有关的常数。从(1)式可知为了测定 $\Delta Q$ ，必须先测定 $A$ 值。测定 $A$ 值的方法如下：用ICTA规定的标准物质测

定其峰面积  $B$  值, 根据标准物质的试样量和  $\Delta H$  算出  $\Delta Q$ , 将  $\Delta Q$  和  $B$  值代入(1)式算出  $A$  值。将  $A$  值与相应的标准物质的转化温度作图, 在  $600^{\circ}\text{C}$  以下得一直线。测试数据见表 3 和图 9

表 3

样品	重量 mg	峰面积 $\text{cm}^2$	比面积 $\text{cm}^2/\text{mg}$	平均比面积	$A$ 值 $\frac{\text{mCal}}{\text{cm}^2}$	转化温度 $^{\circ}\text{C}$
$\text{KNO}_3$	2.22	2.23	1	0.99	13	127.7
	2.23	2.15	0.97			
$\text{KClO}_4$	2.1	3.06	1.46	1.47	16.15	299.5
	1.93	2.86	1.48			
	1.93	2.84	1.47			
$\text{Ag}_2\text{SO}_4$	2.63	1.62	0.65	0.65	18.60	430
	2.44	1.57	0.64			

测试条件: 差热量程  $50\mu\text{V}$ , 走纸速度  $54\text{cm}/\text{时}$ , 升温速度  $10^{\circ}\text{C}/\text{分}$ , 温度量程  $20\text{mV}$ 。

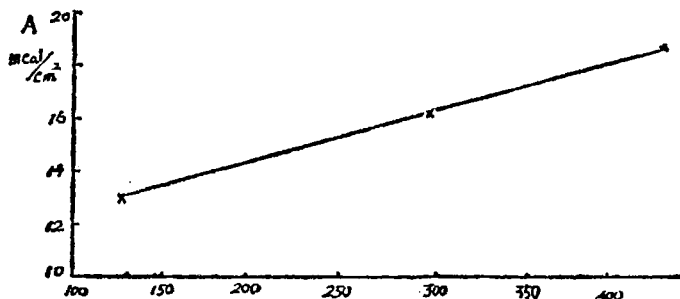


图 9  $A$  值——温度关系图

在与标准物质相同的测试条件下, 测定  $\text{Sn}$  的转变温度和峰面积。数据列于表 4。根据  $\text{Sn}$  熔化时的转变温度, 可以从图 9 上找出相应的  $A$  值为  $14.9\text{mCal/cm}^2$ , 代入(1)式即可求算出  $\text{Sn}$  的熔化热。

表 4

重量 mg	峰面积 $\text{cm}^2$	比面积 $\text{cm}^2/\text{mg}$	平均比面积 $\text{cm}^2/\text{mg}$	熔化温度 $^{\circ}\text{C}$		熔化热 $\text{Cal/mole}$	
				实验值	文献值	实验值	文献值
2.74	2.50	0.91	0.92	231	231.9	1625	1670
2.04	1.90	0.93					
3.28	3.01	0.92					

由表 4 可以看出实验测出的熔化热为  $1625\text{Cal/mole}$ , 比文献值<sup>[4]</sup>  $1670\text{Cal/mole}$  约低 3% 左右, 符合定量差热分析要求。

综上所述, 改进以后的仪器性能比原仪器有明显的提高, 这种改进工艺简单但结果是满意的。

## 参 考 文 献

- [1] Rogers. D. E, J. Therm.Anal., 1975 8 195
- [2] 陈作霖 化学通报 1975 2
- [3] Antonin Blazek, Thermal Analysis, p129, p172 Van Nostrand Reinhold Company London 1973.
- [4] Barin, I. Knacke, O. Thermochemical Properties of Inorganic Substances. Berlin, 1973.

### An Improvement of the DTA—Part of Model 4.1 Precision Differential Thermobalance

Xia Fuxing Wu Xinran

#### Abstract

Based on the Model 4.1 Precision differential thermobalance a micro-differential thermal analytical device was equipped by substituting a plate type thermocouple for the original junction Model.

The sensitivity was enhanced eight-fold, at the same time the resolution was improved. The enthalpy changes of most reactions and phase transitions involving solids may be quantitatively determined.

Satisfactory results were obtained by such a simple improvement.